

Advecção Meteorológica e o Cálculo da Frontogêneses: um estudo de interpolação aplicada ao Método do Tubo de Trajetórias

Luciana P. M. Pena¹

UFF/GMA, Niterói, RJ

Nélio Henderson²

UERJ/IPRJ, Nova Friburgo, RJ

Acir M. Soares Jr³

UFSJ/DCOMP, São João del Rei, MG

Resumo. Neste artigo, o esquema de interpolação original que compõe o método do Tubo de Trajetória foi comparado com uma versão simplificada de interpolação ponderada pela distância inversa. Este método conservativo é fisicamente intuitivo, se baseia nos fundamentos teóricos da mecânica dos meios contínuos e emprega um esquema semi-Lagrangiano para a equação de advecção. Os esquemas resultantes da aplicação das diferentes técnicas foram avaliadas por meio de um problema teste que corresponde a um protótipo de modelos matemáticos mais sofisticados, comumente empregados na previsão de variações de intensidade de frentes meteorológicas. Neste problema o algoritmo resultante, um esquema semi-Lagrangiano explícito de cinco pontos para escoamento incompressível, mostrou ser capaz de trabalhar com passos de tempo longos e provou ser preciso, não oscilatório e não difusivo.

Palavras-chave. Algoritmo semi-lagrangiano, Equação de advecção, Fórmula de interpolação, Frontogêneses.

1 Introdução

Muitos problemas práticos relacionados com o transporte de uma propriedade física são descritos por uma equação diferencial parcial hiperbólica denominada de equação de convecção ou de advecção. Um exemplo importante é a advecção de frentes meteorológicas. Consequentemente, a modelagem computacional dos fenômenos de convecção é uma área de grande importância, onde a solução dessa equação tem um papel de destaque na predição de diversos problemas de interesse da engenharia e da ciência aplicada.

Dado um campo de velocidade, o modelo para o cálculo da temperatura potencial e sua frontogêneses pode ser estabelecido em termos de um sistema transiente formado por duas equações diferenciais parciais. Nesse sistema, a temperatura potencial satisfaz uma equação de advecção, a equação hiperbólica que expressa a conservação dessa propriedade física. Por outro lado, a função frontogênese é descrita por uma equação proposta por Petterssen [6, 7]. Assim, a resolução numérica deste sistema transiente requer um método apropriado, de forma a lidar com as dificuldades que surgem na resolução da equação hiperbólica, que descreve a conservação da temperatura potencial. Na verdade, tal método deve ser conservativo e não oscilatório, de forma a não produzir

¹lucianapena@id.uff.br

²neliohenderson@iprj.uerj.br

³acirsoares@ufsj.edu.br

soluções espúrias. Além disso, devido às exigências normalmente impostas às simulações de modelos atmosféricos, este método deve admitir passos de tempo longos, o que justifica a utilização de um método semi-Lagrangiano.

No presente trabalho, utilizamos o método do Tubo de Trajetórias para equações de advecção, introduzido por Henderson et al. [2], [4], um método conservativo fisicamente intuitivo cuja formulação se baseia nos fundamentos teóricos da mecânica dos meios contínuos e usa o chamado teorema de transporte de Reynolds para estabelecer criteriosamente sua principal propriedade escrita com base em uma equação integral conservativa. O algoritmo resultante é um esquema semi-Lagrangiano explícito de cinco pontos para escoamento incompressível.

2 Modelagem Matemática

A determinação da distribuição de temperatura ao longo de uma massa de ar é um aspecto importante para entender e prever o nascimento de frentes meteorológicas (frontogêneses). Uma acentuada variação da temperatura pode provocar um grande deslocamento de ar devido a um processo de convecção natural, por exemplo.

Na Termodinâmica, a chamada temperatura potencial de uma partícula material de ar, à pressão P , é definida por: $\Theta = T \left(\frac{P_0}{P} \right)^{\frac{R}{C_p}}$, onde T é a temperatura absoluta da partícula do material, C_p é o calor específico (a pressão constante) e R é a constante do gás. O parâmetro P_0 é uma pressão de referência padrão (geralmente 1000 mbar). Assim, a variável Θ é interpretada como a temperatura que a partícula material de ar adquiriria se levada adiabaticamente à pressão de referência padrão, [9]. Na análise meteorológica, a temperatura potencial é mais importante do que a temperatura real T , porque ela não muda durante os processos adiabáticos caracterizados pela ausência de aquecimento, resfriamento, evaporação ou condensação.

Suponha que representa o campo de temperatura ao longo de uma massa de ar. A frontogêneses atmosférica, é definida por [6, 7] como sendo:

$$F = \frac{d}{dt} \|\nabla\Theta\| = \frac{\partial}{\partial t} \|\nabla\Theta\| + V \cdot \nabla\|\nabla\Theta\| \quad (1)$$

onde o operador $\frac{d}{dt} = \frac{\partial}{\partial t} + V \cdot \nabla$ representa a derivada Lagrangiana, V é a velocidade da massa de ar e $\|\nabla\Theta\|$ é a norma Euclidiana do gradiente de temperatura. Assim, a variável F pode ser interpretada como a taxa de variação do potencial de temperatura seguindo as partícula (ou mais precisamente os pacotes) de ar ao longo do escoamento. A variável Θ é considerada uma propriedade conservativa, de forma que permanece constante ao longo das trajetórias das parcelas de ar, ou seja, satisfaz a equação de convecção $\frac{d\Theta}{dt} = \frac{\partial\Theta}{\partial t} + V \cdot \nabla\Theta = 0$. Como o fluido é incompressível, podemos escrever a lei de conservação de massa do ar como:

$$\frac{\partial\Theta}{\partial t} + \nabla(\Theta V) = 0 \quad (2)$$

As expressões em Eq. (1) e (2) podem ser combinadas de modo a reescrever a frontogêneses, livre de derivadas com relação ao tempo, na seguinte forma equivalente:

$$F = - \frac{\nabla\Theta}{\|\nabla\Theta\|} \cdot [(\nabla V)^T \nabla\Theta] \quad (3)$$

Na formulação geral do método do tubo de trajetórias destinado à resolução da equação de convecção Eq. (1), descrita detalhadamente em [5], temos $\Theta^{n+1} = \frac{\int_{D_t} \Theta(X,t) dX}{|\Omega_{t+\Delta t}|}$ onde $|\Omega_{t+\Delta t}| \equiv$

$\int_{\Omega_{t+\Delta t}} dX$ é a medida de uma célula arbitrária $\Omega_{t+\Delta t}$, D_t a sua imagem mapeada para o instante anterior t e Ω^{n+1} é o valor médio da concentração na célula $\Omega_{t+\Delta t}$.

Apesar da possibilidade de empregarmos métodos de integração em duas variáveis, objetivando a eficiência e simplicidade do esquema, a integral dupla é calculada como sendo $\int_{D_t} \Theta(X, t) dX \cong \hat{\Theta} \Lambda$, sendo $\hat{\Theta} = \Theta(\hat{X}, t)$, onde \hat{X} é um ponto em D_t obtido por backtracking do centro da célula $\Omega_{t+\Delta t}^{(i,j)}$, e Λ é a medida de uma área apropriadamente escolhida, descrita em [2]. Na etapa de backtracking resolvemos um sistema de equações diferenciais. Nesse trabalho utilizamos o método clássico de Runge Kutta 4, sujeito às condições finais dadas por $x(t + \Delta t) = \hat{x}$ e $y(t + \Delta t) = \hat{y}$. Após a determinação de \hat{X} , o cálculo de $\hat{\Theta} = \Theta(\hat{X}, t)$ requer uma interpolação bidimensional. Isso é exigido pois esse ponto não recai, necessariamente, no centro de uma célula da grade, referente ao instante t .

Neste trabalho, para fins de comparação, acoplado ao método utilizamos dois tipos de interpolação. Ambos os tipos utilizam o valor da concentração definido no centro da célula que contém o ponto $\hat{X} = (\hat{x}, \hat{y})$ e os valores definidos em cada célula vizinha ao bloco que possui o referido ponto.

A primeira interpolação proposta originalmente, descrita de forma detalhada em [4], pode ser escrita da seguinte forma:

$$\hat{\Theta} \cong \frac{\sum_i \Theta_i d_i^{-1}}{\sum_i d_i^{-1}}, \text{ onde as distâncias } d_i = \sqrt{(\hat{x} - x_i)^2 + (\hat{y} - y_i)^2} \text{ são os pesos considerados.}$$

Usada no desenvolvimento de sistemas de informação geográfica, a segunda interpolação, é a ponderada pela distância inversa, sendo esta uma fórmula de interpolação bidimensional bem estabelecida, originalmente desenvolvida por Shepard [10]. Esta interpolação foi analisada e empregada junto ao método em [3] e pode ser escrita na forma:

$$\hat{\Theta} \cong \begin{cases} \sum_{l=j-1}^{j+1} \sum_{k=i-1}^{i+1} \Theta(\hat{X}_{k,l}) \delta_{kl}, & \text{se } \hat{X} \neq \hat{X}_{i,j} \\ \hat{\Theta}(X_{i,j}); & \text{se } \hat{X} = \hat{X}_{i,j} \end{cases},$$

$$\text{onde } \delta_{kl} = \frac{1}{(\sum_{l=j-1}^{j+1} \sum_{k=i-1}^{i+1} d_{k,j}^i) d_{k,l}} \text{ e } \sum_{l=j-1}^{j+1} \sum_{k=i-1}^{i+1} \delta_{kl} = 1.$$

A metodologia utilizada neste trabalho para resolver as Eqs. (2) e (3), empregando o método do Tubo de Trajetórias, está resumida abaixo no Algoritmo 1. Observe que, em cada passo de tempo desse algoritmo semi-Lagrangiano, o método do Tubo de Trajetórias é usado apenas para resolver a equação de advecção que modela a conservação da temperatura potencial horizontal, um esquema de diferenças finitas centradas é empregado para calcular a frontogêneses no final de um determinado intervalo de tempo, resultando em um algoritmo totalmente explícito que funciona sem restrições de passo de tempo.

Algoritmo 1. Cálculo da Frontogêneses:

Dados: $t_0, \Theta_{i,j}^{(0)}, \forall i, j, \Delta x, \Delta y, \Delta t$ e $t_f > 0$.

Passo 1: Use o método do Tubo de Trajetórias, para calcular $\Theta_{i,j}^{(n+1)}, \forall i, j$.

$$\Theta_{i,j}^{(n+1)} = \hat{\Theta}^{(n)} \cdot \Lambda / |\Omega^{(i,j)}| \quad \forall i, j$$

Passo 2: Calcule $\nabla \Theta_{i,j}^{(n+1)}, \|\nabla \Theta_{i,j}^{(n+1)}\|$ e $(\nabla V_{i,j}^{(n+1)})^T, \forall i, j$, use:

$$\nabla \Theta_{(i,j)}^{(n+1)} = \left(\frac{\nabla \Theta_{i+1,j}^{(n+1)} - \Theta_{i-1,j}^{(n+1)}}{\Delta x}, \frac{\nabla \Theta_{i,j+1}^{(n+1)} - \Theta_{i,j-1}^{(n+1)}}{\Delta y} \right)$$

$$\|\nabla \Theta_{i,j}^{(n+1)}\| = \frac{1}{2} \sqrt{\left(\frac{\nabla \Theta_{i+1,j}^{(n+1)} - \Theta_{i-1,j}^{(n+1)}}{\Delta x} \right)^2 + \left(\frac{\nabla \Theta_{i,j+1}^{(n+1)} - \Theta_{i,j-1}^{(n+1)}}{\Delta y} \right)^2}$$

$$\nabla V_{i,j}^{(n+1)} = \begin{bmatrix} \frac{\partial u}{\partial x} & \frac{\partial u}{\partial y} \\ \frac{\partial v}{\partial x} & \frac{\partial v}{\partial y} \end{bmatrix}$$

Passo 3: Calcule a frontogêneses $F_{i,j}^{(n+1)}$, no nível $n + 1, \forall i, j$:

$$F = -\frac{\nabla \Theta^{(n+1)}}{\|\nabla \Theta^{(n+1)}\|} \cdot [(\nabla V^{(n+1)})^T \cdot \nabla \Theta^{(n+1)}]$$

No esquema de discretização mostrado acima, usamos condições de contorno que representam um fluxo de calor nulo na fronteira do domínio considerado. Isto equivale a tomar $\nabla \Theta \cdot \hat{n} = 0$, para todo t , onde \hat{n} é o vetor unitário normal exterior à fronteira. Para maiores detalhes da dedução e implementação da nossa proposta para o cálculo da frontogêneses, veja [3].

3 Problema Teste

O problema teste proposto apresenta desafios numéricos semelhantes aos encontrados em modelos complexos que empregam equações de advecção.

Com o objetivo de estudar propriedades da frontogêneses, incluindo a influência da vorticidade na sua deformação, Doswell em [1] idealizou um padrão de escoamento onde o ar se move em um vórtice circular impulsionado pela velocidade do vento (V_T), a qual é por hipótese (puramente) tangencial a massa de ar e depende apenas do raio (r) medido a partir da origem, sendo essa velocidade tangencial dada por:

$$V_T(r) = \text{sech}^2(r) \text{tgh}(r). \tag{4}$$

Em vista disso, Doswell propõe um campo de velocidade bidimensional estacionário definido por:

$$u(x, y) = -V_T(r) \text{sen}(\alpha) \tag{5}$$

$$v(x, y) = -V_T(r) \text{sen}(\alpha), \tag{6}$$

onde $\alpha = \text{arctg}(\frac{y}{x})$ e $r = \sqrt{x^2 + y^2}$. Em um instante t_0 , considerando um campo inicial de temperatura, sendo:

$$\Theta(x, y, t_0) = -\text{tgh}\left(\frac{y}{\gamma}\right), \tag{7}$$

a qual se mostra essencialmente distribuído ao longo da direção y , onde γ é a largura característica da frente meteorológica.

Para testar o método do Tubo de Trajetórias com o modelo de Doswell, seguimos os detalhes sugeridos por Rančić, veja [8]. Assim, escolhemos um domínio plano retangular dado por $B = [-4 \text{ km}, 4 \text{ km}]^2$ e devido as dimensões do domínio considerado, tomamos $\gamma = 2 \text{ km}$.

A próxima modificação consiste em alterar ligeiramente a velocidade tangencial definida em Eq. (4), de modo que o maior valor de $V_T(r)$ seja igual a 1. Como notado por Doswell, em [1], o valor máximo da função é dado por $V_t(r)_{max} = \frac{1}{1,5 \times 3^{\frac{1}{2}}} \text{ km/h}$, o qual é atingido em $r = 0.658479 \text{ km}$.

Portanto, a modificação adotada nesta seção considera $V_T(r) = (1,5 \times 3^{\frac{1}{2}}) \text{sech}^2(r) \text{tgh}(r)$.

Rančić [8] mostrou que o modelo convectivo de Doswell (Eqs.2, 5 e 6) juntamente com a condição inicial mais geral exibida em Eq.(7) possui uma solução analítica, dada por:

$$\Theta(x, y, t) = -\text{tgh}\left[\frac{y}{\gamma} \cos(\varpi t) - \frac{x}{\gamma} \text{sen}(\varpi t)\right] \tag{8}$$

onde $\varpi(r) = V_T(r)/r$ é a velocidade angular, que neste caso não é uma constante. Em vista deste fato, poderemos comparar os resultados numéricos obtidos pela metodologia proposta aqui com a solução analítica do modelo de Doswell indicada em Eq. (8).

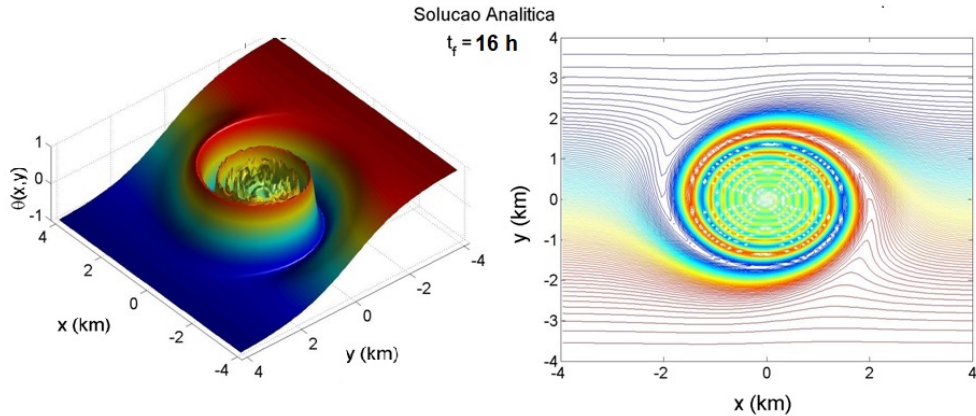


Figura 1: Superfície e curva de nível da solução analítica em $t_f = 16$ h, com $\Delta x = \Delta y = 0,08$ km. Fonte: Elaborada pelos autores.

Neste trabalho, a acurácia dos métodos estudados será medida pelo erro numérico ε_2 , definido abaixo, o qual é tomado com a relação a solução exata em todos os pontos da grade de discretização.

$$\varepsilon_2 = \frac{1}{\Delta x \times \Delta y} \sqrt{\frac{\sum_{r,s} (\Theta_{r,s}^{numerica} - \Theta_{r,s}^{analitica})^2}{\sum_{r,s} (\Theta_{r,s}^{analitica})^2}} \quad (9)$$

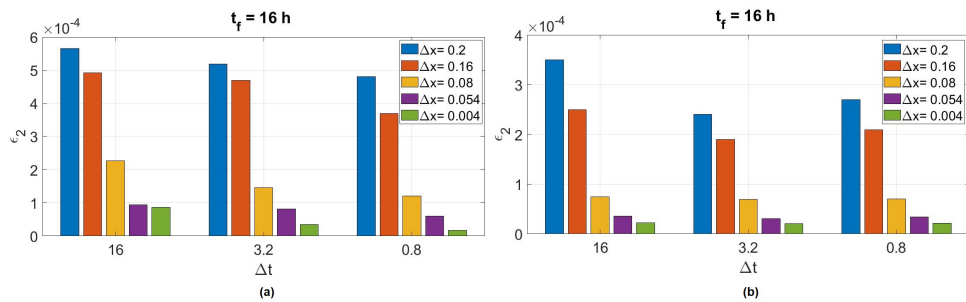


Figura 2: Comparação de erro ε_2 da temperatura potencial em $t_f = 16$ h calculados com o Método do Tubo de Trajetórias para três valores de passos de tempo combinados com cinco valores de $\Delta x = \Delta y$, utilizando em (a) interpolação original e em (b) interpolação ponderada pela distância inversa. Fonte: Elaborada pelos autores.

Comparando o erro, o método de interpolação ponderada pela distância inversa apresenta discreta vantagem com relação ao método de interpolação original, veja Figura (2). Observamos neste estudo numérico a importância de conciliarmos o refinamento da grade com uma escolha apropriada do tamanho do passo de tempo. De fato, como mostrado no gráfico da Figura (2), o erro ε_2 definido na Eq.(9) pode assumir valores relativamente grandes se, em uma grade grossa, Δt não for escolhido suficientemente pequeno. No entanto, notamos que ε_2 tende para zero à medida que refinamos a grade e selecionamos Δt de forma apropriada. É importante destacar que diferentemente do método de interpolação original, para este problema de teste, observamos na interpolação ponderada da distância inversa, que o erro numérico depende de t .

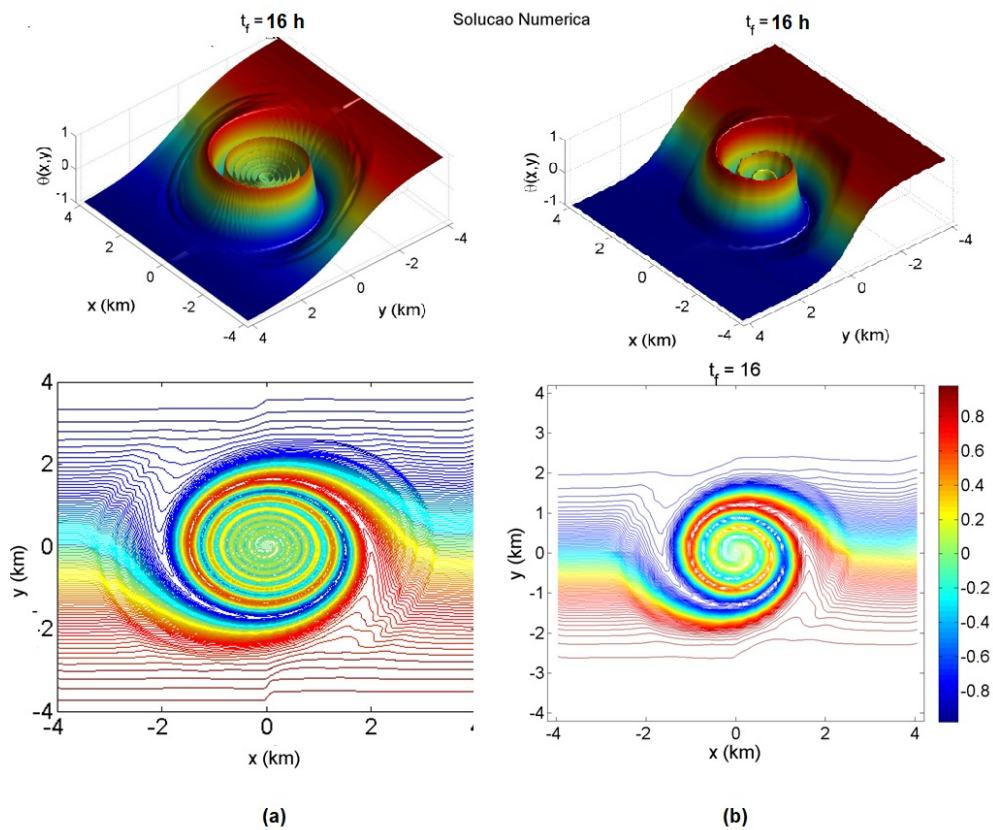


Figura 3: Superfície e curva de nível da solução numérica obtida pelo método do Tubo de Trajetórias, com $t_f = 16h$ e $\Delta x = \Delta y = 0,08$ km, utilizando em (a) interpolação original e em (b) interpolação ponderada pela distância inversa. Fonte: Elaborada pelos autores.

A Figura (3) apresenta boa concordância entre a solução gerada pelo método do Tubo de Trajetória e a solução analítica calculada por Rančić Eq. (8) utilizando ambos os métodos de interpolação.

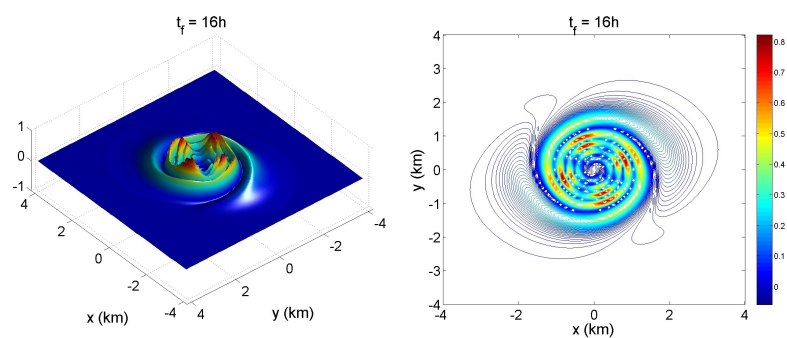


Figura 4: Superfície e curva de nível da solução numérica da frontogêneses do modelo de Doswell obtida pelo método do Tubo de Trajetórias, com $t_f = 16h$ e $\Delta x = \Delta y = 0,08$ km, e $\Delta t = 3,2h$ utilizando em a interpolação ponderada pela distância inversa. Fonte: Elaborada pelos autores.

Na Fig. (4), mostramos as curvas de superfície e contorno da solução numérica para a função de frontogênese usando o modelo de vórtice de Doswell. Esta solução para $F = \frac{d\|\nabla\Theta\|}{dt}$ corresponde ao tempo $t_f = 16h$, que foi calculado após cinco intervalos de tempo do Algoritmo 1 com $\Delta t = 3,2h$ e $\Delta x = \Delta y = 0,08$ km.

Aplicações iniciais relativas ao problema de advecção de frentes meteorológicas e o cálculo da frontogênese idealizada de Doswell, mostraram que o método do Tubo de Trajetórias pode ser utilizado na computação científica destinada à predição do tempo.

4 Considerações Finais

Os resultados computacionais confirmaram que ambos os esquemas analisados apresentam na prática uma boa propriedade conservativa, estabilidade, precisão numérica e eficiência suficiente para ser empregado em problemas práticos, modelados pela equação de convecção. Comparações numéricas com duas interpolações diferentes, demonstram a discreta superioridade da interpolação ponderada pela distância inversa acoplada ao Método do Tubo de Trajetórias, para o problema teste proposto.

Referências

- [1] Charles A. Doswell. “A Kinematic Analysis of Frontogenesis Associated with a Nondivergent Vortex”. Em: **Journal of Atmospheric Sciences** 41.7 (1984), pp. 1242–1248. DOI: doi.org/10.1175/1520-0469(1984)041<1242:AKAOFA>2.0.CO;2.
- [2] L. G. Henderson e L. P. M. Pena. “Developing new approaches for the path tubes method”. Em: **Applied Mathematical Modelling** 35 (2011), pp. 285–302. DOI: 10.1016/j.amc.2017.01.053.
- [3] L. G. Henderson e L. P. M. Pena. “The inverse distance weighted interpolation applied to a particular form of the path tubes Method: Theory and computation for advection in incompressible flow”. Em: **Applied Mathematics and Computation** 304 (2017), pp. 114–135. DOI: 10.1016/j.amc.2017.01.053.
- [4] L. G. Henderson, L. P. M. Pena e M. Sampaio. “Path tubes method: A semi-Lagrangian approach for linear advection equations”. Em: **Chemical Engineering Science** 64.13 (2009), pp. 3138–3146. ISSN: 0009-2509. DOI: 10.1016/j.ces.2009.03.048.
- [5] L. P. M. Pena. “Análise de um método para equação de convecção formulado à luz da mecânica dos meios contínuos a advecção de anomalias oceânicas e meteorológicas”. Centro de Tecnologia e Ciências::Instituto Politécnico. Tese de doutorado. 2006.
- [6] S. Petterssen. **Contribution to the Theory of Frontogenesis**. 11. 1936, pp. 1–27.
- [7] S. Petterssen. **Weather Analysis and Forecasting**. Vol. 1. McGraw-Hill, New York, 1956.
- [8] Miodrag Rancić. “Semi-Lagrangian Piecewise Biparabolic Scheme for Two-Dimensional Horizontal Advection of a Passive Scalar”. Em: **Monthly Weather Review** 120.7 (1992), pp. 1394–1406. DOI: /10.1175/1520-0493(1992)120<1394:SLPBSF>2.0.CO;2.
- [9] Walter J Saucier. **Principles of meteorological analysis**. Vol. 438. University of Chicago Press Chicago, Ill., 1955.
- [10] Donald S. Shepard. “A two-dimensional interpolation function for irregularly-spaced data”. Em: **Proceedings of the 1968 23rd ACM national conference** (1968).